

ний в топливе, который основан на приближенных представлениях. Они позволяют осуществить проверку основных теоретических представлений о влиянии напряжений на структуру материала и скорость его горения. К сожалению, в настоящее время такие эксперименты отсутствуют.

В соответствии с развитыми представлениями скорость горения твердого топлива, подвергнутого растяжению, различна в зависимости от направления горения. Горение с поверхности, параллельной растягивающей силе, происходит с большей скоростью, чем в ортогональном направлении. Повторные деформации образца могут приводить к накоплению дефектов и трещин и вызывать еще большее увеличение скорости горения в напряженном состоянии.

*Поступила в редакцию 7/XII 1981*

#### ЛИТЕРАТУРА

1. С. А. Абруков, Г. Н. Марченко и др. ФГВ, 1976, 12, 1.
2. С. А. Христианович, Р. Л. Салганик. Внезапные выбросы угля (породы) и газа. Напряжения и деформации. Препринт ИПМ АН СССР, № 153, 1980.
3. Б. И. Хайкин, А. Г. Мержанов. Докл. АН СССР, 1967, 173, 1382.
4. Л. Г. Лойцянский. Механика жидкости и газа. М.: Наука, 1970.

## ГОРЕНИЕ СЛОЯ ТОПЛИВА ПРИ ОБДУВАНИИ ПОВЕРХНОСТИ ПОТОКОМ ОКИСЛИТЕЛЯ

*Н. Н. Смирнов  
(Москва)*

При решении задач механики и техники часто приходится сталкиваться с процессами горения различных материалов в потоке газообразного окислителя. Подобные задачи, например, возникают при исследовании горения топлива в гибридных ракетных двигателях [1—4] при изучении пределов воспламенения смазочных веществ в кислороде [5], при определении теплозащитных свойств покрытий при движении тел в атмосфере с большими скоростями [6], при рассмотрении самоподдерживающейся детонации в неперемешанных гетерогенных системах [7, 8]. Проведенные эксперименты [3, 5, 7, 9] показали, что во всех указанных процессах химическая реакция локализована в узкой зоне внутри пограничного слоя. Эту зону будем называть диффузионным пламенем, так как скорость реакции в этом случае определяется скоростью испарения (сублимации) топлива и перемешивания паров с окислителем в результате диффузии в пограничном слое.

Цель настоящей работы — изучение закономерностей горения топлив в ламинарном диффузионном пламени, нахождение поверхности диффузионного пламени и скорости выгорания слоя топлива, определение трещин, потока тепла в слой топлива и других параметров пограничного слоя и исследование влияния скорости сублимации топлива на эти параметры.

В отличие от предыдущих теоретических исследований [2, 4] в работе ищется распределение скоростей, температур и концентраций при ламинарном диффузионном горении без учета химической кинетики, основанное на точном решении уравнений пограничного слоя и межфазного тепло- и массообмена.

Рассматривается задача об обдувании плоской поверхности жидкого или твердого топлива потоком окислителя. Выберем прямоугольную систему координат  $(x, y)$ , связанную с твердым телом так, чтобы ось  $x$  совпадала с поверхностью раздела и была ориентирована по направлению потока окислителя.

В этой системе координат уравнения пограничного слоя в газе стационарны и при условии, что реагенты при химических превращениях связаны соотношением

$$\sum_{i=1}^n v'_i m_i = \sum_{i=1}^N v''_i m_i, \quad (1)$$

а числа Прандтля и Шмидта равны единице, имеют следующий вид [10]:

$$\begin{aligned} \partial \rho u / \partial x + \partial \rho v / \partial y &= 0, \\ \rho u \cdot \partial u / \partial x + \rho v \cdot \partial u / \partial y &= \partial / \partial y \cdot \mu \cdot \partial u / \partial y, \\ \rho u \frac{\partial \beta_i}{\partial x} + \rho v \frac{\partial \beta_i}{\partial y} &= \frac{\partial}{\partial y} \mu \frac{\partial \beta_i}{\partial y} \quad (i = 2, \dots, N), \\ \rho u \cdot \partial \xi / \partial x + \rho v \cdot \partial \xi / \partial y &= \partial / \partial y \cdot \mu \cdot \partial \xi / \partial y, \\ p &= \rho R T \sum_{i=1}^N \frac{Y_i}{m_i}, \end{aligned} \quad (2)$$

где  $u, v$  — компоненты скорости по осям  $x$  и  $y$  соответственно;  $\rho$  — плотность;  $p$  — давление;  $T$  — температура;  $\mu$  — коэффициент динамической вязкости;  $m_i, Y_i$  — молекулярная масса и концентрация  $i$ -го компонента;  $v'_i, v''_i$  — стехиометрические коэффициенты  $i$ -го компонента до и после

реакции;  $\Delta H = \frac{\sum_{i=1}^N m_i h_i^0 (v'_i - v''_i)}{m_N (v'_N - v''_N)}$  — удельная теплота сгорания топлива;  $h_i^0$  — удельная энтальпия образования  $i$ -го компонента;

$$\beta_i = \frac{Y_i}{m_i (v''_i - v'_i)} - \frac{Y_1}{m_1 (v''_1 - v'_1)}, \quad (3)$$

$$\xi = \frac{c_p T + u^2/2}{m_N (v'_N - v''_N) \Delta H} - \frac{Y_i}{m_1 (v''_1 - v'_1)}. \quad (4)$$

Уравнение энергии для конденсированной фазы при постоянной теплоемкости ( $c_L$ ) и теплопроводности ( $\lambda_L$ ), следя [11], в предположении отсутствия тангенциальных перемещений приближенно запишем в одномерном случае

$$(\rho v)_L \cdot \partial T / \partial y = \lambda_L \cdot \partial^2 T / \partial y^2. \quad (5)$$

Система (2), (5) решается со следующими граничными условиями: на внешней границе пограничного слоя в газе ( $y \rightarrow +\infty$ )

$$Y_1 = Y_{te}, \quad u = u_e, \quad T = T_e, \quad Y_{Ne} = 0; \quad (6)$$

в жидкости (при  $y \rightarrow -\infty$ )

$$u = 0, \quad Y_N = 1, \quad T = T_o; \quad (7)$$

на границе раздела газ — жидкость (при  $y = 0$ )

$$u_w = 0, \quad Y_{tw} = 0. \quad (8)$$

Кроме того, на поверхности раздела используются уравнение сохранения потоков массы  $i$ -го компонента

$$(\rho v)_w [Y_{tw} - (Y_{iw})_{y=-0}] - (\rho D)_w (\partial Y_i / \partial y)_w = 0 \quad (9)$$

и следствие уравнения сохранения потока энергии [8]

$$q_s = -\lambda (\partial T / \partial y)_w - (\rho v)_w h_L, \quad (10)$$

где  $q_s = -\lambda_L (\partial T / \partial y)_{L,w}$  — поток тепла от поверхности внутрь конденсированной фазы;  $\lambda$  — коэффициент теплопроводности;  $h_L$  — удельная теплота фазового перехода; индексы характеризуют:  $L$  — параметры конденси-

рованной фазы,  $e$  — параметры газообразной фазы на внешней границе пограничного слоя,  $i = 1$  — параметры окислителя,  $i = N$  — параметры топлива,  $i = 2, \dots, N - 1$  — промежуточные и конечные продукты реакции и возможные инертные компоненты,  $W$  — параметры на поверхности раздела.

Система (2) допускает интегралы Крокко

$$\beta_i = (\beta_{ie} - \beta_{iw})/u_e \cdot u + \beta_{iw}, \quad (11)$$

$$\xi = (\xi_e - \xi_w)/u_e \cdot u + \xi_w, \quad (12)$$

откуда, учитывая граничные условия (6), (8) — (10), получим соотношения для определения концентраций и потока тепла у поверхности раздела

$$Y_{iw} = \frac{1}{1+B} (Y_{ie} - \Phi_i Y_{1e}), \quad i = 2, \dots, N-1, \quad (13)$$

$$Y_{NW} = \frac{1}{1+B} (B + Y_{Ne} - \Phi_N Y_{1e}), \quad (14)$$

$$-\lambda \left( \frac{\partial T}{\partial y} \right)_W = \frac{\tau_w}{u_e} \left[ c_p (T_e - T_W) + \frac{u_e^2}{2} + (Y_{Ne} - Y_{NW}) \Delta H - B \Delta H (1 - Y_{NW}) \right]. \quad (15)$$

В соотношениях (13) — (15) использованы следующие обозначения:

$$\tau_w = \mu (\partial u / \partial y)_w, \quad B = (\rho v)_w u_e / \tau_w,$$

$$\Phi_i = \frac{m_i (v''_i - v'_i)}{m_1 (v''_1 - v'_1)}, \quad i = 2, \dots, N.$$

Наличие первых интегралов (11) и (12) позволяет при решении системы (2) ограничиться решением двух первых уравнений. Для этого введем новые независимые

$$z = \int_0^y \rho dy, \quad \zeta = \int_0^x \rho \mu dx$$

и зависимую переменную

$$w = \frac{1}{\rho \mu} \left( \rho v + u \int_0^y \frac{\partial \rho}{\partial x} dy \right).$$

Следуя [10], предположим, что произведение  $\rho \mu$  не зависит от  $y$ . Тогда первые уравнения системы (2) приводятся к виду

$$\partial u / \partial \zeta + \partial w / \partial z = 0, \quad (16)$$

$$u \cdot \partial u / \partial \zeta + w \cdot \partial u / \partial z = \partial^2 u / \partial z^2. \quad (17)$$

Введем функцию тока  $\Psi(\zeta, z)$ :  $u = \partial \Psi / \partial z$ ,  $w = -\partial \Psi / \partial \zeta$ . Тогда уравнение (16) удовлетворяется автоматически, а (17) после перехода к переменным Дородницына  $\eta = z \sqrt{u_e / 2 \zeta}$ ,  $\Psi = \sqrt{2 u_e \zeta} f(\eta)$  сводится к уравнению Блазиуса

$$f'''(\eta) + f(\eta) f''(\eta) = 0 \quad (18)$$

с граничными условиями

$$f'(0) = 0, \quad f'(\infty) = 1, \quad f(0) = -B f''(0). \quad (19)$$

Границные условия (19) содержат неизвестную величину  $B$  — параметр массообмена, для определения которого найдем из решения (5) поток тепла  $q_s$ , идущий па прогрев конденсированной фазы

$$q_s = -\lambda_L (\partial T / \partial y)_{L,w} = (\rho v)_w c_L (T_w - T_0). \quad (20)$$

Подставляя выражения для потоков тепла (20) и (15) в уравнение на

границе раздела (10) и определяя  $Y_{NW}$  по (14), получим соотношение

$$-c_p(T_w - T_e) + u^2/2 + Y_{1e}\Phi_N \Delta H - B[h_L + c_L(T_w - T_0)] = 0, \quad (21)$$

которое задает связь параметра массообмена  $B$  с температурой поверхности раздела фаз  $T_w$ . Предполагая, что газ вблизи поверхности находится в локальном термодинамическом равновесии, определим  $T_w$  как равновесную температуру фазового перехода при давлении  $p_{NW}$ , равном парциальному давлению паров сублимирующего топлива

$$p_{NW} = Y_{NW} \cdot m / m_N \cdot p_e, \quad (22)$$

где  $m = \left( \sum_{i=1}^N \frac{Y_{iW}}{m_i} \right)^{-1}$  — средняя молекулярная масса смеси.

Для определения связи температуры фазового перехода с давлением используем условие Клайперона — Клаузиуса

$$dp/dT = h_L/T(1/\rho - 1/\rho_L). \quad (23)$$

Учитывая температурную зависимость удельной теплоты фазового перехода  $dh_L = \Delta c_p dT$  ( $-\Delta c_p = c_{pN} - c_L$ ) и пренебрегая удельным объемом жидкой фазы  $1/\rho_L$  по сравнению с объемом газообразной  $1/\rho$ , приведем условие (23) к виду

$$\frac{p_e}{p_{NW}} = \left( \frac{T_{ke}}{T_w} \right)^{\frac{\Delta c_p m_N}{R}} \exp \left[ \frac{\Delta c_p m_N T_{kp}}{R} \left( \frac{1}{T_{ke}} - \frac{1}{T_w} \right) \right], \quad (24)$$

где  $T_{ke}$  — температура фазового перехода при давлении  $p_e$ ;  $T_{kp}$  — критическая температура. Подставляя (24) и (13), (14) в уравнение (22), получим

$$B = Y_{1e}\Phi_N - Y_{Ne} + \frac{\sum_{i=2}^{N-1} \frac{m_N}{m_i} (Y_{ie} - Y_{1e}\Phi_i)}{\left( \frac{T_{ke}}{T_w} \right)^{\frac{\Delta c_p m_N}{R}} \exp \left[ \frac{\Delta c_p m_N T_{kp}}{R} \left( \frac{1}{T_{ke}} - \frac{1}{T_w} \right) \right] - 1}. \quad (25)$$

Соотношения (25) и (21) составляют систему двух трансцендентных уравнений для определения неизвестных величин  $B$  и  $T_w$ . При известном значении параметра массообмена  $B$  уравнение (18) с граничными условиями (19) и первые интегралы (11), (12) системы (2) позволяют определить распределение скоростей и других параметров внутри пограничного слоя в газе и значения интересующих параметров на поверхности раздела. На рис. 1 и 2 приведены результаты расчета изменения указанных параметров для различных значений  $B$ . Видно, что функции  $f$ ,  $f'$ ,  $f''$  и  $f'''$  зависят от  $\eta$  и  $B$ .

Результаты приведенных расчетов, в частности, позволяют определить напряжение трения на границе раздела и тем самым выяснить влияние массоподачи на напряжение трения в ламинарном пограничном слое. Напряжение трения с учетом введенных обозначений определяется по формуле

$$\tau_w = \rho_w \mu_w u_e f''(0, B) \sqrt{u_e/2\zeta},$$

которую приближенно можно записать

$$\tau_w = u_e f''(0, B) \sqrt{\rho \mu u_e/2x}. \quad (26)$$

Тогда связь  $\tau_w$  с напряжением  $\tau_w^0$  при отсутствии массоподачи ( $B = 0$ ) задается соотношением

$$\frac{\tau_w}{\tau_w^0} = \frac{f''(0, B)}{f''(0, 0)} = F(B).$$

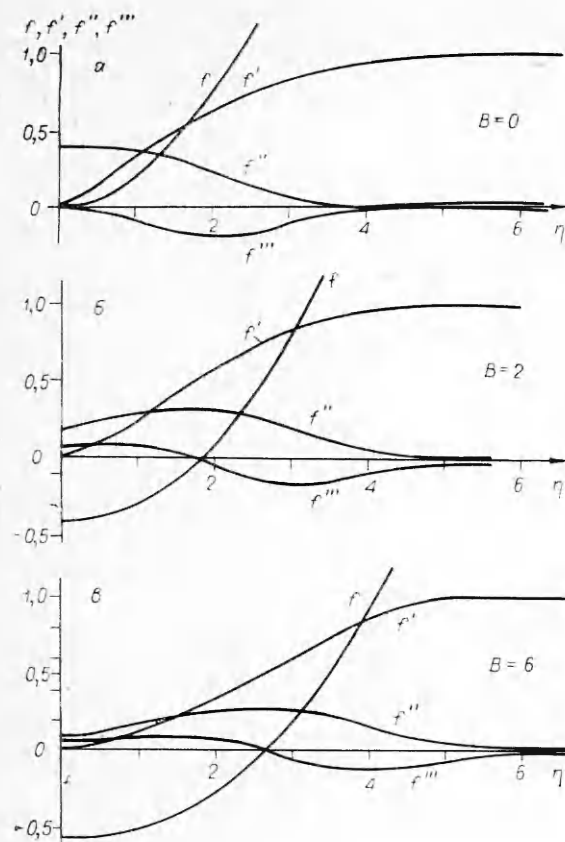


Рис. 1. Решения уравнения Блазиуса при наличии и отсутствии вдува вещества с поверхности в пограничный слой.

(2) в предположении, что  $|\partial/\partial x| \ll |\partial/\partial y|$ . На штриховой кривой приведена зависимость  $\tau_w/\tau_w^0$  от  $B$  задаваемая формулой (27). Как видно из графика, для значений  $B \in [0, B^*]$  ( $B^* = 3,5$ ) кривые очень близки (различие не превышает 10%), и, следовательно, формула (27) в данном диапазоне изменения  $B$  является хорошей аппроксимацией зависимости напряжения трения от массообмена на поверхности. Для  $B > B^*$  необходимо в каждом конкретном случае решать уравнение Блазиуса либо пользоваться зависимостью, задаваемой функцией  $F(B)$  (см. рис. 3).

Результаты расчетов параметра  $B$  (см. рис. 4, горючее — *n*-декан ( $C_{10}H_{22}$ ), окислитель —  $N_2 + O_2$ ) показывают, что  $B$  возрастает с увеличением скорости набегающего потока и начальной температуры  $T_0$  и убывает при уменьшении концентрации кислорода в окислителе  $Y_{1e}$ . Зная  $B$  из (26), определим скорость выгорания пластины длиной  $l$  и шириной  $b$ :

$$\dot{m} = b \int_0^l (\rho v)_W dx = B f''(0, B) b \sqrt{2 \rho \mu u_e l}.$$

Для нахождения точного распределения концентраций и температуры и положения зоны реакции без помощи численного интегрирования используем приближение поверхности пламени. Иными словами, следуя экспериментальным данным работ [1, 5, 7, 9], предположим, что химическая реакция протекает в узкой зоне, которую можно считать поверхностью. Это предположение основано на том, что скорость химической реакции велика по сравнению со скоростью диффузии, поэтому реагенты

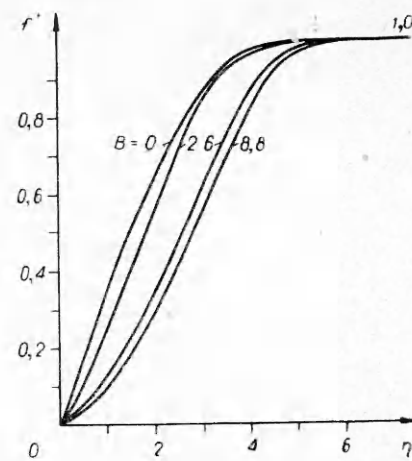


Рис. 2. Изменение профиля скоростей в пограничном слое  $f'(\eta) = u/u_e$  при различных значениях параметра массообмена  $B$ .

Значения функции  $F(B)$  приведены на рис. 3 (сплошная кривая). В работе [3] предлагается для малых значений  $B$  учитывать влияние массоподачи по формуле

$$\frac{\tau_w}{\tau_w^0} = \frac{n(1+B)}{B}, \quad (27)$$

которая выводится из двух первых уравнений системы

для сравнения на рис. 3 задаваемая формулой (27) в диапазоне  $B \in [0, B^*]$  ( $B^* = 3,5$ ) и, следовательно, формула (27) является хорошей аппроксимацией зависимости напряжения трения от массообмена на поверхности. Для  $B > B^*$  необходимо в каждом конкретном случае решать уравнение Блазиуса либо пользоваться зависимостью, задаваемой функцией  $F(B)$  (см. рис. 3).

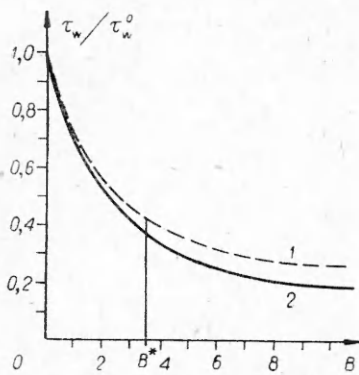


Рис. 3. Влияние массообмена на напряжение трения на поверхности.  
1 — приближенная формула Дорренса;  
2 — теоретический расчет.

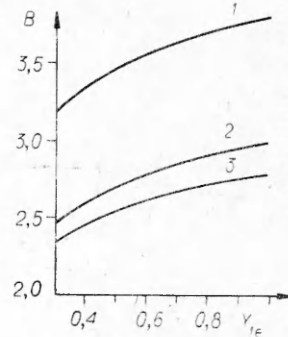


Рис. 4. Результаты расчетов параметра массообмена при горении n-декана в потоке азота с кислородом в зависимости от концентрации кислорода  $Y_{1e}$  и скорости потока  $u_e$ ;  $T_e = 300$  К,  $T_0 = 300$  К.  
 $u_e$ , м/с: 1 — 1000, 2 — 500, 3 — 10.

не в состоянии проникать в значительной концентрации сквозь пламя на большие расстояния, не вступив при этом в реакцию. Это предположение, как отмечается в [4], справедливо, начиная с некоторого расстояния от края пластины ( $x > x_m$ ). Срывом диффузионного пламени ввиду больших градиентов в носике пограничного слоя пренебрежем.

Ввиду того, что реакция протекает только на поверхности пламени, эта поверхность разделяет пограничный слой на две области. В области над поверхностью пламени (индекс +) отсутствуют пары топлива, а имеются окислитель и продукты реакции. В области между поверхностью пламени и границей раздела фаз (индекс —) присутствуют пары топлива и продукты реакции и отсутствует окислитель. Тогда из формулы (3), определяющей функцию  $\beta_N$ , получаем

$$\beta_N^+ = -\frac{Y_1}{m_1(v''_1 - v'_1)}; \quad \beta_N^- = \frac{Y_N}{m_N(v''_N - v'_N)}.$$

Так как массовые концентрации  $Y_1$ ,  $Y_N$  неотрицательны, а разности  $(v''_1 - v'_1)$  и  $(v''_N - v'_N)$  имеют одинаковый знак, то функция  $\beta_N$  при переходе через поверхность пламени меняет знак. Доопределяя функции  $\beta_N$ ,  $Y_1$ ,  $Y_N$  по непрерывности, на поверхности пламени получим условие

$$\beta_N = 0. \quad (28)$$

Используя формулы (6) (8), (11), (14), получим из условия (28) соотношение на поверхности пламени

$$\frac{u^*}{u_e} = f'_*(\eta_*) = \frac{-\beta_{NW}}{\beta_{Ne} - \beta_{NW}} = \frac{Y_{NW}}{Y_{NW} + Y_{1e}\Phi_N} = \frac{B - Y_{1e}\Phi_N}{B(1 + Y_{1e}\Phi_N)}. \quad (29)$$

Определив значение  $f'_*(\eta_*)$  на поверхности пламени по (29), из решения уравнения Блазиуса с граничными условиями (19) найдем соответствующее значение  $\eta_*$ , которое позволяет определить форму поверхности пламени

$$z = \eta_* \sqrt{2\xi/u_e}$$

или приближенно

$$y = \eta_*/\rho_m \sqrt{2\rho_m x/u_e},$$

где  $\rho_m$  — среднее по Эккерту значение плотности. Тогда распределение концентраций горючего и окислителя выше и ниже поверхности пламени определится из соотношений

$$Y_N^+ = 0, \quad Y_N^- = Y_{NW}[1 - f'(\eta, B)] - Y_{1e}\Phi_N f'(\eta, B),$$

$$Y_1^+ = Y_{1e} f'(\eta, B) - [1 - f'(\eta, B)] Y_{NW} \Phi_N^{-1}, \quad Y_1^- = 0,$$

где  $Y_{NW}$  определяется по формуле (14). Для распределения концентрации инертного компонента во всем пограничном слое из (11) и (13) получим формулу

$$Y_A = Y_{Ae} \cdot [1 + B f'(\eta, B)] / (1 + B).$$

Обозначая через  $Y_p$  концентрацию всех продуктов реакции, получим соотношения

$$Y_p^+ = [1 - f'(\eta, B)] (1 + Y_{NW} \Phi_N^{-1} - Y_{AW}),$$

$$Y_p^- = [1 - f'(\eta, B)] (1 - Y_{NW} - Y_{AW}) + f'(\eta, B) Y_{1e} (1 - \Phi_N),$$

которые, учитывая условия (6), (13) и (14), приведем к виду

$$Y_p^+ = [1 - f'(\eta, B)] \frac{B (1 + \Phi_N^{-1})}{1 + B},$$

$$Y_p^- = [1 + B f'(\eta, B)] \frac{Y_{1e} (1 + \Phi_N)}{1 + B}.$$

Изменение температуры внутри пограничного слоя задается соотношениями

$$T^+ - T_w = f'(\eta, B) (T_e - T_w) + \frac{u_e^2}{2c_p} [f'(\eta, B) -$$

$$- f'^2(\eta, B)] + [1 - f'(\eta, B)] Y_{NW} \frac{\Delta H}{c_p},$$

$$T^- - T_w = f'(\eta, B) (T_e - T_w) + \frac{u_e^2}{2c_p} [f'(\eta, B) -$$

$$- f'^2(\eta, B)] + f'(\eta, B) Y_{1e} \Phi_N \frac{\Delta H}{c_p}.$$

Для сравнения с экспериментом в качестве примера определены параметр массообмена, форма поверхности пламени и распределение параметров внутри пограничного слоя при горении метанола, обдуваемого потоком чистого кислорода со скоростями 60–180 см/с. Значения определяющих параметров задачи соответствовали данным работы [9]. Результаты расчетов показали, что температура поверхности  $T$  и параметр  $B$  практически не зависят от изменения скорости потока окислителя в исследуемом диапазоне и при нормальных условиях:  $T_w = 349$  К,  $B = 8,8$ . Расчетное изменение формы поверхности пламени с увеличением скорости набегающего потока (см. рис. 5, сплошные кривые) хорошо согласует-

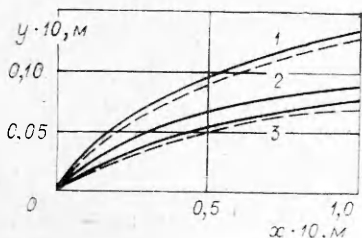


Рис. 5. Изменение формы поверхности пламени с увеличением скорости набегающего потока при горении метанола в потоке кислорода.  
— теоретический расчет;  
— эксперимент [9].  $u_e$ , м/с:  
1 — 0,6, 2 — 1,2, 3 — 1,8.

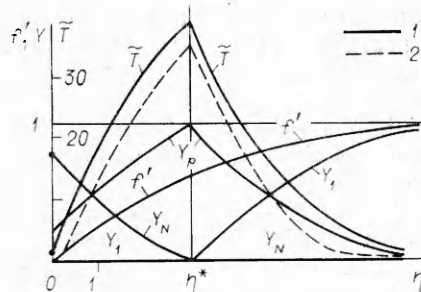


Рис. 6. Распределение скорости  $f' = u/u_e$ , температуры  $T = (T - T_e)/(T_w - T_e)$ , концентраций горючего  $Y_N$ , окислителя  $Y_1$  и продуктов реакции  $Y_p$  внутри пограничного слоя при горении метанола в потоке кислорода.  
1 — теоретический расчет; 2 — эксперимент [9].

ся с экспериментальными данными работы [9] (штриховые кривые на рис. 5). Распределение скорости, температуры и концентраций внутри пограничного слоя изображено на рис. 6. Для сравнения штриховой кривой в соответствующих безразмерных переменных изображен профиль температур по экспериментальным данным [9].

Таким образом, в работе предложен метод исследования горения материалов в ламинарном диффузионном пламени, определено влияние маскообмена на распределение скоростей, температур, напряжений трения и других параметров пограничного слоя, найдена зависимость скорости выгорания материала от длины зоны горения, определено влияние внешних параметров задачи на форму диффузионного пламени и распределение параметров в пограничном слое.

Поступила в редакцию 13/IV 1982

#### ЛИТЕРАТУРА

1. Л. Грин.— В сб.: Гетерогенное горение. М.: Мир, 1967.
2. Г. Максмен, К. Вулдридж, Р. Маззи.— В сб.: Гетерогенное горение. М.: Мир, 1967.
3. Р. Маззи. РТК, 1963, 9.
4. Ю. А. Кустов, С. С. Рыбанин. ФГВ, 1970, 6, 1.
5. В. Ф. Плешаков, И. А. Щепатьев, Б. А. Иванов. ФГВ, 1976, 12, 1.
6. У. Х. Дорренс. Гиперзвуковые течения вязкого газа. М.: Мир, 1966.
7. К. В. Ragland. AIAA J., 1970, 7, 3.
8. Н. И. Зверев, И. Н. Смирнов. Вестн. МГУ. Мат. мех., 1981, 3.
9. Toshiyuki Hirano, Mitsuo Kinoshita. 15-th Symp. (Intern.) on Combust. Tokyo, 1974.
10. Ф. А. Вильямс. Теория горения. М.: Наука, 1965.
11. Л. Лиз.— В сб.: Газодинамика и теплообмен. М.: ИЛ, 1962.

#### О РЕЖИМАХ РАСПРОСТРАНЕНИЯ ПЛАМЕНИ В АЭРОВЗВЕСЯХ МЕТАЛЛИЧЕСКИХ ЧАСТИЦ

B. Г. Шевчук, Е. Н. Кондратьев, А. Н. Золотко, В. В. Смирнов  
(Одесса)

Сжигание газовзвесей частиц твердых горючих может быть реализовано либо в процессе объемного горения, когда взвесь воспламеняется и сгорает одновременно во всем объеме (тепловой взрыв), либо в процессе волнового горения, подразумевающего существование сформированного фронта пламени, распространяющегося с определенной скоростью от локального источника зажигания. Теоретические основы процесса объемного реагирования газовзвесей частиц с различными законами окисления, а также обширные экспериментальные исследования изложены в работах [1—8].

В то же время вопросы волнового горения, несмотря на многообразие возможных режимов и их практическую значимость, освещены недостаточно. Теоретические [9—13] и экспериментальные [14—15] исследования посвящены в основном ламинарному режиму распространения пламени и выявляют ведущий механизм передачи тепла во взвеси.

Аналогично газовым горючим смесям, по степени воздействия продуктов сгорания режимы распространения пламени в газовзвесях могут быть разделены на два класса: а) режимы, возникающие при свободном оттоке продуктов сгорания (ламинарный [14, 16] и вибрационный [14]), имеющие место при распространении пламени в полуоткрытых трубах при поджигании взвеси у открытого конца трубы; б) режимы, реализующиеся в случае газодинамического влияния продуктов сгорания на фронт пламени. Исходя из общих соображений, ко второму классу можно отнести режим распространения пламени по движущейся перед фронтом